

The Emitted Emissions of Compression Ignition Engine Fueled with Iraqi Diesel Fuel during Idle Time

2nd Conference on Environment and Sustainable Development 28-29-Oct.-2015

Miqdam Tariq Chaichan 

Energy and Renewable Energy Technology Center, University of Technology, Baghdad, Iraq

Email: 20185@uotechnology.edu.iq

Abstract

Idle emissions of unburnt hydrocarbon (HC), CO, CO₂, NOx, particulate matter (PM) and noise were measured from multi cylinder direct injection diesel-fueled engine. The purpose was to evaluate the hazards collateral to operate the engine at idle speed for long periods of time. Experiments were conducted at various speeds (900, 1000, 1200 and 1500 RPM) and for a 20 min period of time. The measurements were taken each 5 min. The results indicate that increasing idle time increased CO, HC, NOx, PM and noise, in the same time reduced CO₂ concentration. Increasing idle time deteriorated combustion causing lower CO₂ while the other emissions increased highly. Increasing idle speed improved the combustion and reduced CO, HC, PM and noise while increasing CO₂ and NOx. Increasing engine speed enhanced combustion resulting in higher CO₂ concentration, but it also increases combustion temperatures which resulted in higher NOx.

Keywords: idling time, idle speed, NOx, HC, PM, CO, CO₂, noise.

الملوثات المنبعثة من محرك اشتعال بالانضغاط يعمل بوقود ديزل عراقي خلال فترة الحيداد

الخلاصة

تم قياس ملوثات الهيدروكربونات غير المحترق (HC) وأول أوكسيد الكربون (CO) وثاني أوكسيد الكاربون (CO₂) وأوكسید النيتروجين (NOx) والجزيئات الهبانية (PM) والضجيج الناتجة عن محرك متعدد الاسطوانات بمحرك بوقود ديزل. وكانت الهدف من الدراسة تقييم الخطير المصاحب لتشغيل المحرك بسرعة الحيداد لفترات زمنية طويلة. وتمت التجارب على سرع حيداد مختلفة (٩٠٠، ١٠٠٠، ١٢٥٠، ١٥٠٠ دوره/دقيقة) ولمدة ٢٠ دقيقة، وكانت القياسات تتم كل ٥ دقائق. بينت النتائج أن زيادة زمن العمل بالحيداد يزيد من انبعاثات CO و HC و NOx و PM والضجيج، وفي نفس الوقت يقلل من تراكيز CO₂ المنبعثة. إن زيادة زمن الحيداد يفسد الأحتراق مسبباً تراكيز CO₂ أقل بينما تزداد تراكيز بقية الملوثات بشكل كبير. كما تحسن زيادة سرعة الحيداد من الأحتراق وتقلل تراكيز CO و HC و PM والضجيج بينما تزيد من تراكيز CO₂ و NOx. تحسن زيادة سرعة الحيداد من نوعية الأحتراق مسببة زيادة تراكيز CO₂ ولكنها تزيد درجات حرارة الأحتراق مما يسبب ازياد تراكيز NOx.

الكلمات المرشدة: زمن الحياد، سرعة الحياد، CO₂، PM، HC، NOx، CO، المقدمة

يعتبر التغير المناخي مشكلة حقيقة منذ فترة من الزمن، والرابط بين هذه المسألة والطاقة أصبح معروفاً للجميع ويمكن القول أن الأهتمام اليوم بتوليد طاقة أكثر كفاءة مع تقليل انبعاثات ثاني أكسيد الكربون [1]. تستهلك مركبات дизيل للأعمال الثقيلة خلال فترة الحياد الكثير من الوقود وتؤثر على البيئة المحيطة، ولا يمكن تقييد هذه الانبعاثات بسهولة، لأن تسخين كابينة المشغل أو تبريد الهواء بها يعتبر من الأمور الضرورية لراحة، ولا توجد إلى الآن قاعدة بيانات محددة للملوثات المنبعثة من عدم المركبات تصف تأثير فترة الحياد [2].

تخضع المركبات المستخدمة للأغراض الثقيلة وبالرغم من كفاءتها العالية إلى فحص وتدقيق كبارين بسبب كثافة الطاقة العالية لنقل الحمولات بواسطة الشاحنات وبسبب الفرص المتوفرة لتقليل استهلاك الوقود ضمن أشكال الفاطرات والمقطورات [6 - 2].

قامت عدة دراسات بقياس الملوثات المنبعثة من مركبات العمل الثقيلة العاملة بوقود дизيل خلال فترة الحياد بالخصوص من قطرات السحب، وذلك لفهم تأثير سرعة المحرك وحمل الملحقات على الملوثات المنبعثة من هذه المركبات خلال فترة الحياد ولتحديد أداء تقنيات تقليل هذه الفترة. قال ماكورمك [7] إن الملوثات المنبعثة خلال فترة الحياد لاربعة وعشرين مركبة خدمة ثقيلة تجهز بوقود дизيل وأربعة مركبات خدمة ثقيلة تجهز بوقود الغاز الطبيعي المسال. تبعد مركبات дизيل 10.2 g/hr من الهيدروكاربونات غير المحترفة بمعدل 70.98 g/hr من أول أكسيد الكربون، و 84.96 g/hr من أكسيد النيتروجين و 1.8 g/hr من الجزيئات الهباءية خلال فترة الحياد، بينما يتبع من المركبات المجهزة بوقود غاز طبيعي مسال كمعدل 86.1 g/hr من الهيدروكاربونات غير المحترفة، و 67.14 g/hr من غاز أول أكسيد الكربون، و 16.02 g/hr من أكسيد النيتروجين و 0.18 g/hr من الجزيئات الهباءية. اختبر برديج [8] تأثير سرعة المحرك وحمل التجهيزات الملحة على الملوثات المنبعثة من مركبة فلايتلير مجهزة بمحرك ديزل ذي قدرة حصانية ٤٥٠ حصان موديل ١٩٩٩. وجد الباحث أن زيادة سرعة المحرك من 600 rpm إلى 1500 rpm مع تشغيل مكيف الهواء في المقصورة في كلتا الحالتين نتج عنه زيادة في ملوثات أول أكسيد الكربون وأكسيد النيتروجين وثاني أكسيد الكربون بنسب تراوحت بحدود ٦٠% و ٥٣% و ٩٠% على التوالي، كما أن تغيير السرعة هذا أثر على استهلاك الوقود بسبب زيادته بحدود ٧٠%.

قال جيجان [9] ملوثات CO والهيدروكاربونات غير المحترفة HC وأكسيد النيتروجين NOx والجزيئات الهباءية PM وثاني أكسيد الكربون CO₂. تزداد تراكيز NOx المنبعثة من المحرك مع زيادة زمن الحياد. كما لم يظهر التحكم بتوقيت الحقن أي تأثير على ملوثات CO₂ المنبعثة خلال فترة الحياد، إن استخدام مكيف هواء المقصورة بدون زيادة سرعة المحرك يتسبب بزيادة ملوثات CO₂ و NOx و PM و HC المنبعثة خلال هذه الفترة. تزداد تراكيز CO₂ و NOx المنبعثة خلال فترة الحياد بحدود ١٥٠% بزيادة سرعة المحرك من ٦٠٠ إلى ١١٠٠ دورات/ دقيقة، بينما ازدادت تراكيز PM و HC بحدود ١٠٠% و ٧٠% على التوالي.

وبالإضافة إلى التأثيرات الصحية التي يختبرها العامة فإن قادة هذه المركبات يتعرضون لخطر كبير. إذ من المعروف أن التعرض لمدة طويلة إلى عالم مركبات дизيل يزيد من احتمال الأصابة بسرطان الرئة [10]. لقد بيّنت الدراسات العملية لقياس معدلات التلوث داخل وخارج مقصورة المشغل خلال فترة الحياد في مواقع الانتظار للشاحنات والمركبات بزيادة كبيرة في معدلات الجزيئات الهباءية الدقيقة [13-11]. وبينت الدراسات أن الاستراحة والنوم في المقصورة خلال عمل المحرك بسرعة الحياد يسبب عدم الراحة وقطع النوم مما ينتج عنه آثار سلبية على راحة سلوك المشغل خلال ساعات العمل [14]. يتضمن تقليل فترة الحياد عدة طرق وتقنيات يجب تجهيزها في المركبة. يجب الوضع بالحساب ايجاد بدائل لتدفئة وتبريد هواء المقصورة. وتعتبر صيانة المحرك وتقليل كمية الكبريت في الوقود وتحسين تدفئة

النظام لبداية تشغيل سلسة بالإضافة إلى تجهيز الكهرباء للملحقات التي تحتاجها خلال فترة الحياد من ضمن هذه التقنيات، تتضمن تقنيات تقليل تأثيرات فترة الحياد إضافةً وحدات ملحقة داخل المقصورة مثل مسخنات تعمل بوقود طبخ، ووحدات قدرة ملحقة، وجهاز لاطفاء اجهزة الكهرباء عند توقف المركبة، وهي تلك التي تجهز القدرة الكهربائية لاغراض التسخين والتهوية وتبريد الهواء [15].
تهدف الدراسة الحالية لقياس كميات الملوثات المنبعثة من محرك ديزل يجهز بوقود ديزل عراقي خلال فترة الحياد، ودراسة تأثير تغير سرعة المحرك وزمن هذه الفترة على الملوثات المنبعثة.

الجانب العلمي الأجهزة المستخدمة

استخدم في هذه الدراسة محرك ديزل نوع فيات ذي حقن مباشر وبيرد بالماء وهو رباعي الأسطوانات مرتبة بخط واحد، ويسحب الهواء طبيعياً (بدون شاحن جيري)، ويبين جدول ١ مواصفات المهمة للمحرك. إن المحرك المستخدم بالدراسة مرتبط بديناموميتر هيدروليكي للتحكم بالأحمال المسلطة عليه بزيادة العزم. كما استخدم جهاز قياس الملوثات نوع Multigas mode 4880 لقياس تراكيز أكاسيد النيتروجين (NOx) والهيدروكربونات غير المحرقة (HC) وأول وثاني أكسيد الكربون (CO و CO₂) ويبين شكل ١ صورة فوتوغرافية للmotor المستخدم بالبحث مع كافة ملحقاته.
استخدم في هذه الدراسة جامع عينات نوع Sniffer L-30 (شكل ٢) لجمع الجزيئات الهبابية المنبعثة من المحرك، واستخدمت فلاتر مايكرويه نوع Whatmann-glass لجمع عينات الجزيئات الهبابية، وكانت هذه الفلاتر توزن قبل وبعد عملية الجمع والتي تمت لمدة نصف ساعة. ويوضع كل فلتر في كيس بلاستيكي مؤقتاً بعد انتهاء عملية جمع العينة ولحين وزنها وتحليل النتائج. وتقدر تراكيز الجزيئات الهبابية باستخدام المعادلة:

$$PM \text{ in } (\mu\text{g}/\text{m}^3) = \frac{w_2 - w_1}{V_t} \times 10^6 \quad (1)$$

إذ أن: PM = تركيز الجزيئات الهبابية بوحدات ($\mu\text{g}/\text{m}^3$).
 w_1 = وزن المصفي قبل عملية جمع العينة بوحدة (g).
 w_2 = وزن المصفي بعد عملية جمع العينة بوحدة (g).
 Vt = الحجم الكلي للهواء المسحوب (m^3). ويمكن ايجاد Vt باستخدام المعادلة:

$$Vt = Q_t \cdot t \quad (2)$$

إذ أن: Q_t = معدل تدفق الهواء الأبتدائي والنهائي عبر الجهاز بوحدات (m^3/sec).
 t = زمن جمع العينة (بالدقائق)

تم استخدام جهاز مقياس شدة الصوت لقياس ضغط الصوت الكلي مجهز بحاكية نوع ٤٦١٥، وتمت معايرة الجهاز باستخدام جهاز معايرة نوع ستوفون ٤٢٢٠.

جدول (١). مواصفات المحرك المستخدم بالدراسة

Engine type	4cyl. 4-stroke
Engine model	TD 313 Diesel engine rig
Combustion type	DI, water cooled, natural aspirated
Displacement	3.666 L
Valve per cylinder	two
Bore	100 mm
Stroke	110 mm
Compression ratio	17
Fuel injection pump	Unit pump 26 mm diameter plunger
Fuel injection nozzle	Hole nozzle 10 nozzle holes Nozzle hole dia. (0.48mm) Spray angle= 160° Nozzle opening pressure=40 MPa



شكل (١). جهاز جمع سحب الهواء نوع سنفر لجمع عينات PM (PM type Sniffer)



شكل (١). الجهاز المستخدم بالتجارب وملحقاته

الوقود المستخدم
تم استخدام وقود ديزل عراقي تجاري في هذه الدراسة، يتسم الديزل العراقي بارتفاع تراكيز الكبريت به (تصل لغاية ١٠٠٠٠ جزء بالمليون كما هو هنا للوقود المستخدم)، كما أن الرقم السيتاني له متوسط (٤٩) للوقود المستخدم في هذه الدراسة.
تحليل الخطأ

تعطي دقة القياس وافعية أكبر لنتائج الدراسة ويعرف مصدر الخطأ من خلال عملية المعاية الصحيحة للجهاز المستخدم في القياس. يبين جدول ٣ اجهزة القياس المستخدمة في الدراسة ودققتها عبر المعاية، وتعرف الموثوقية كما في (ASHREA, 1986) بالمعادلة التالية:

$$e_R = \left[\left(\frac{\partial R}{\partial V_1} e_1 \right)^2 + \left(\frac{\partial R}{\partial V_2} e_2 \right)^2 + \cdots + \left(\frac{\partial R}{\partial V_n} e_n \right)^2 \right]^{0.5} \quad (3)$$

إذ أن: e_R = عدم الموثوقية في النتائج
 R = دالة متكونة من متغيرات أو $R(V_1, V_2, \dots, V_n)$
 e_i = مجال عدم الموثوقية للمتغير.
ويمثل التفاضل الجزئي $\frac{\partial R}{\partial V_1}$ حساسية النتائج لمتغير واحد، وبهذا تكون عدم الموثوقية لنتائج الدراسة
الحالية كما يلي:

$$e_R = \left[(0.045)^2 + (1)^2 + (0.07)^2 + (0.95)^2 + (0.98)^2 + (1.24)^2 + (0.7)^2 + (0.022)^2 + (1.09)^2 \right]^{0.5} = \pm 2.366 \% \quad (4)$$

توضح هذه النتيجة أنه أمكن الوصول لعدم موثوقية في القياسات أقل من ٥٪ للدراسة الحالية. تم اجراء ثلاثة اختبارات لكل حالة لتقليل الأخطاء العشوائية في التجارب، وتم أخذ المتوسط الحسابي لنتائج هذه التجارب لكل حالة مع ثقة بحدود أعلى من ٩٥٪.

أسلوب التجارب

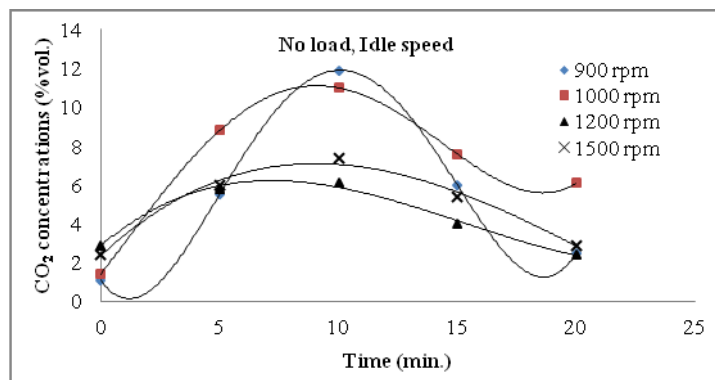
تمت التجارب بترك المحرك يعمل لمدة ١٠ دقائق في بداية كل يوم بدون حمل ولحين ارتفاع درجة حرارة ماء تبريد المحرك وزيت التزييت لدرجة حرارة أعلى من ٧٥°C. وبعد هذه المرحلة يعمل المحرك بسرعة ثابتة بدءاً بـ ٨٠٠، ١٠٠٠، ١٢٠٠ و ١٥٠٠ دورات/ دقيقة. ويتم خلال هذه التجارب قياس تراكيز غاز العادم CO₂, CO, HC, NOx, PM والضواعف المنبعثة من المحرك خلال فترات زمنية متساوية كل منها ٥ دقائق. وتؤخذ القراءات لعشرين دقيقة لكل اختبار. وتم اختيار هذا الوقت اعتماداً على حقيقة أن وقت الحيد هذا ممكن حدوثه عملياً في الحياة العملية في مدينة بغداد وبقية محافظات العراق عند نقاط التفتيش والأسارات المرورية المزدحمة.

مناقشة النتائج

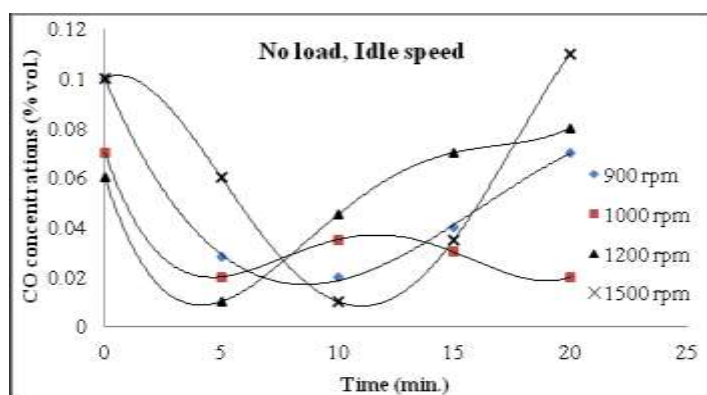
تمت دراسة تأثير زمن اشتغال المحرك على الحيد عند سرع مختلفة على الملوثات المنبعثة منه. وتمت دراسة تراكيز الملوثات CO, CO₂, HC, NOx, PM والضواعف المنبعثة من المحرك. يبيّن شكل ٣ تأثير زمن الحيد على تراكيز CO₂ للسرعة المختلفة. تزداد تراكيز ثاني أكسيد الكربون للفترة من بداية القياس ولغاية ١٠ دقائق وتتحفظ بعدها لغاية ٢٠ دقيقة. تزداد تراكيز CO₂ عند سرعة ١٠٠٠ دورات/ دقيقة تدريجياً لتصل أعلى قيمها بعد مضي ١٠ دقائق ثم تتحفظ. تبيّن النتائج المدرجة في الشكل أن عمل المحرك بسرعة الحيد لمدة أطول من ١٠ دقائق يسبب انخفاض في نوعية الاحتراق، فانخفاض تراكيز CO₂ يعني تراكيز أعلى من CO و HC بسبب سوء نوعية الاحتراق هذا.

يبين شكل ٤ تأثير كل من سرعة المحرك وزمن الحياد على تراكيز CO المنبعثة منه. إن تراكيز أول أكسيد الكاربون المنبعثة من محرك ديزل عادة هي منخفضة خلال التشغيل الأعتيادي ولكن يتغير تصرفها في حالة الحياد. فعند ٨٠٠ دورة/دقيقة بدأت تراكيز CO بمستويات عالية وانخفاض مع الوقت حتى وصلت لأدنى قيمة لها بعد مضي ١٠ دقائق تقريباً. وبذات هذه التراكيز ترتفع بعد مرحلة العشرة دقائق هذه. أما عند سرع حياد ١٠٠٠ و ١٢٠٠ دورة/دقيقة انخفضت تراكيز CO لتصل أدنى قيمها بعد خمسة دقائق من فترة الحياد ثم بدأت بالأزدياد لغاية ٢٠ دقيقة تشغيل. ووصلت تراكيز CO لأدنى قيمها بعد مضي ٢٠ دقيقة من عمل المحرك بسرعة حياد ١٥٠٠ دورة/دقيقة. إن ارتفاع تراكيز CO يعني رداءة الاحتراق داخل أسطوانات المحرك، بمعنى أنه بدلاً من اكتمال الاحتراق وبدون ظهور تراكيز CO فإن هذه التراكيز تزداد. وتزداد تراكيز CO للأسباب التالية:

- ١- تكون غرفة الاحتراق باردة عند بداية الاحتراق مسببة تبخّر جزئي للوقود واحتراق غير كامل.
- ٢- تزداد درجة حرارة غرفة الاحتراق مع المضي قدمًا بفترة الحياد ويمكن الوصول إلى احتراق أفضل. تزداد كمية الوقود المحترق جزئياً مع استمرار فترة الحياد وحقن الوقود مسببة تراكيز أعلى من أول أكسيد الكاربون.

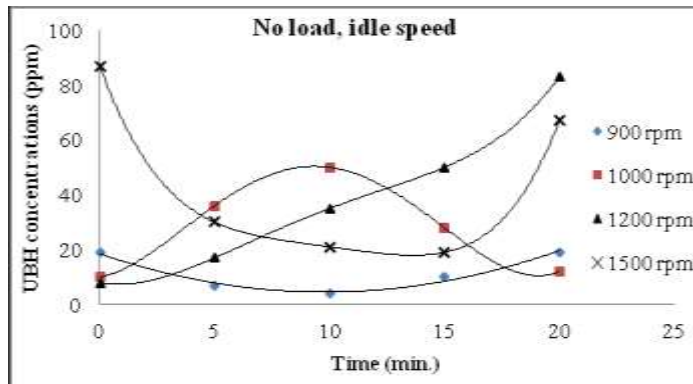


شكل (٣). تأثير زمن وسرعة الحياد للمحرك على ملوثات CO_2 المنبعثة منه



شكل (٤). تأثير الزمن وسرعة حياد المحرك على ملوثات CO المنبعثة منه

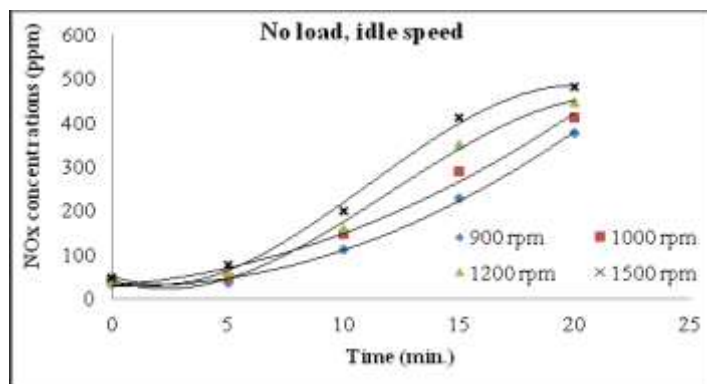
يوضح شكل ٥ تأثير زمن وسرعة الحيد للمحرك على تراكيز ملوث الهيدروكاربونات غير المحترقة. إن تراكيز HC المنبعثة من محرك الديزل خلال فترة الحيد منخفضة مقارنة بمتى لاتها المنبعثة من محرك جازولين بسبب الكفاءة العالية لمحرك الديزل. لقد كانت تراكيز HC خلال فترة الحيد منخفضة جدا بحيث لا يمكن استبيانها أو كشفها وقياسها عمليا. قلت تراكيز HC مع تقدم زمن الحيد عند عمل المحرك بسرعة ٨٠٠ دورة/دقيقة ولغاية ١٠ دقائق من التشغيل ثم بدأت بالازدياد تدريجيا. أما عند سرعة محرك ١٠٠٠ دورة/دقيقة فقد ازدادت تراكيز HC لغاية عمل المحرك بسرعة الحيد مدة عشر دقائق ثم بدأت بالانخفاض.



شكل(٥). تأثير الزمن وسرعة حيد المحرك على ملوثات HC المنبعثة منه

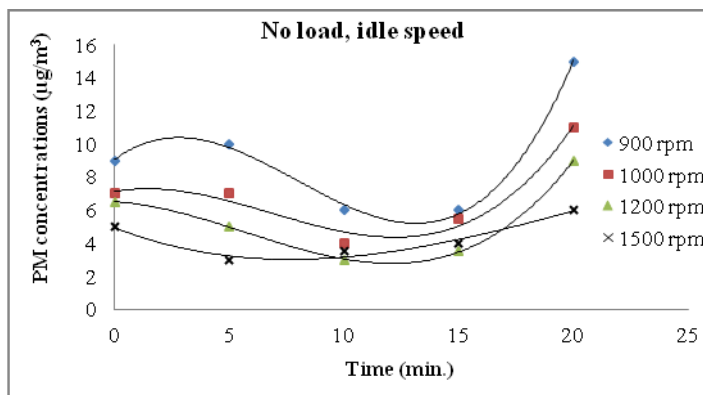
اما عند سرعة محرك ١٢٠٠ دورة/دقيقة فإن هذه التراكيز ازدادت طوال فترة التشغيل بسرعة الحيد المذكورة. كما ازدادت تراكيز HC عند العمل بسرعة حيد ١٥٠٠ دورة/دقيقة لغاية ١٥ دقيقة تشغيل ثم بدأت بالارتفاع بمعدلات عالية. عند توقف المركبة وعدم وجود حمل مسلط على المحرك تبرد غرفة الاحتراق وتحصل عملية احتراق غير تمام مسببة ازدياد تراكيز الهيدروكاربونات غير المحترقة. ومع استمرار تشغيل المحرك على الحيد يصبح ساخنا مما يقلل تراكيز HC.

تنصرف تراكيز ملوث اكاسيد النيتروجين بشكل مغایر لملوثات CO و HC. إذ تزداد تراكيز NOx مع تقدم زمن الحيد كما يبين شكل ٦، وتكون هذه التراكيز عند أدنى قيمها خلال عمل المحرك بسرعة حيد ٨٠٠ دورة/دقيقة. ان زيادة سرعة دوران المحرك تعني زيادة درجة حرارة غرفة الاحتراق والتي ينتج عنها ازدياد تراكيز NOx. لقد كانت التراكيز المقاسة في هذه الدراسة أعلى من كل محددات التلوث المقبولة في تشريعات اورو ٣ و ٤ و ٥ (Euro 3, 4 & 5) او التشريعات الأمريكية تير ٣ او ٤ (Tier 3 & 4).

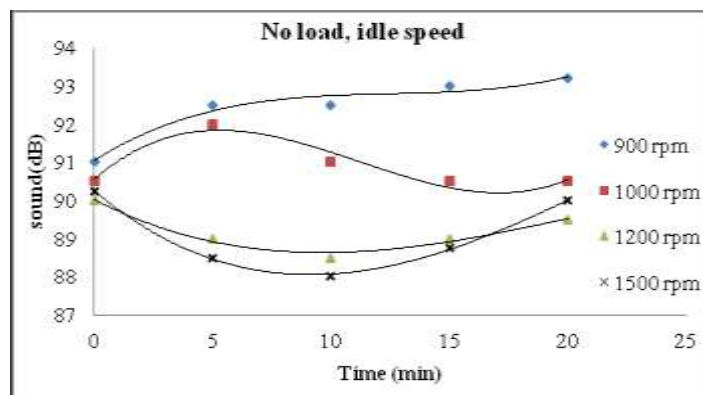


شكل (٦). تأثير الزمن وسرعة حيد المحرك على تراكيز ملوثات NO_x المنبعثة منه

إن الجزيئات الهابية المنبعثة من محرك ديزل هي منخفضة للغاية، خصوصاً للطرازات الحديثة جداً. يوضح شكل ٧ تأثير زمن الحيد وسرعته على تراكيز الجزيئات الهابية. تزداد تراكيز PM عند سرع منخفضة بسبب انخفاض درجة حرارة غرف الاحتراق عند هذه السرع. تزداد درجة حرارة غرف الاحتراق بزيادة سرعة الحيد مسببة نقصان تراكيز PM. وتزداد هذه التراكيز لزمن حيد من ١٠ إلى ٢٠ دقيقة لكل سرع الحيد المختلفة في هذه الدراسة مبينه تدهور نوعية الاحتراق. كانت أعلى تراكيز PM المقاسة عند سرع حيد ٨٠٠ دورة/دقيقة مما يعني خطورة تشغيل المحرك عند سرعه حيد منخفضة كهذه السرعه. تزداد ضوضاء المحرك عند سرع حيد منخفضة وتقل للسرع الاعلى كما يبين شكل ٨، إذ يزداد اهتزاز المحرك عند السرع المنخفضة مسبباً ضوضاءاً أعلى مصاحباً بنقصان تزويت الأجزاء الدوارة. أما عند سرع حيد اعلى فإن اهتزاز كتل المحرك تقل ويزداد تزويت الأجزاء الدوارة فيه.



شكل (٧). تأثير الزمن وسرعة حيد المحرك على تراكيز ملوثات PM المنبعثة منه



شكل (٨). تأثير الزمن وسرعة حيد المحرك على الضوضاء المنبعثة منه

الأستنتاجات

تم اختبار تأثير زمن الحيد وسرعته على محرك ديزل متعدد الأسطوانات ذي حقن مباشر. بينت النتائج أن زيادة زمن الحيد تسبب زيادة تراكيز ملوثات CO، HC، NOx والضوئيات المنبعثة من المحرك، وتقلل تراكيز CO₂ في الوقت عينه. كما تحسن زيادة سرعة الحيد من الأحتراق مسبيبة تراكيز أعلى من CO₂ ولكنها أيضاً تزيد من درجة حرارة الأحتراق التي تسبب زيادة أكبر لتراكيز NOx.

References

- [1] Downing, K. & Matthews, S. "Improving truck efficiency and reducing idling," submitted to: House Interim Committee on Environment and Water, October 1, 2010.
- [2] Khan, A.S., Clark, N.N., Thompson, G.J., Wayne, W.S., Gautam, M., Lyons, D.W. & Hawelti, D. "Idle emissions from heavy-duty diesel vehicles: review and recent Data," J. Air & Waste Manage. Assoc., 56, 1404-141, 2006.
- [3] National Academy of Sciences (NAS), "Technologies and approaches to reducing the fuel consumption of medium and heavy-duty vehicles," Washington D.C., The National Academies Press, 2010.
- [4] Denning, C. & Kustin, C. "The good haul: innovations that improve freight transportation and improve the environment," Environmental Defense Fund, New York, NY 2010.
- [5] Cooper, C., Kamakaté, F., Reinhart, T., Kromer, M. & Wilson, R. "Reducing heavy-duty long haul combination truck fuel consumption and CO₂ emissions," Northeast States Center for a Clean Air Future, October 2009.
- [6] Rocky Mountain Institute, "Transformational trucking initiative report," 2009.
- [7] McCormick, R.L., Graboski, M.S., Alleman, T.L., Yanowitz, J. "Idling emissions from heavy-duty diesel and natural gas vehicles at high altitude," J. Air & Waste Manage. Assoc., 50, 1992-1998, 2000.
- [8] Brodrick, C.J., Dwyer, H.A., Farshchi, M., Harris, D.B., King, F.G. "Effects of engine speed and accessory load on idling emissions from heavy-duty diesel truck engines," J. Air & Waste Manage. Assoc. 52, 1026-1031, 2002.
- [9] Chaichan, M.T. "Exhaust gas recirculation (EGR) and injection timing effect on emitted emissions at idle period," Al-Khwarizmi Engineering Journal, 10(4), 33-44, 2014.
- [10] Garshick, E., Laden, F., Hart, J. E., Rosner, B., Davis, M. E., Eisen, E. A., Smith, T. J. "Lung cancer and vehicle exhaust in trucking industry workers," Environmental Health Perspectives, 116, 1327-1332, 2008.
- [11] Miller, T.L., Fu, J., Storey, J. & Parks, J. "Diesel truck idling emissions: measurements at a PM2.5 hot spot," Paper No. 07-2609 presented at the 86th Annual Meeting of the Transportation Research Board, Washington DC, 2007.
- [12] Doraiswamy, P., Davis, W.T., Miller, T.L., Fu, J.S., Lam, Y. "Measuring air pollution inside and outside of diesel truck cabs," Prepared for the U.S. Environmental Protection Agency by Department of Civil and Environmental Engineering, University of Tennessee, 2005.
- [13] Doraiswamy, P., Davis, W.T., Miller, T., Lam, N., Bubbosh, P. "Air quality measurements inside diesel truck cabs during long-term idling," Transportation Research Record: Journal of the Transportation Research Board, Issue Number: 1987, 2006.
- [14] Gaines, L.L. & Hartman, C.B., "Energy use and emissions comparison of idling reduction options for heavy-duty diesel trucks," 88th Annual Meeting of the

Transportation Research Board Washington, D.C., Paper No. 09-3395, January 11-15, 2009.

[15] Proc, K., Nitschke, B., Wagner, F., Anderson, M., Slezak, L. “Idle reduction technology demonstration plan,” National Renewable Energy Laboratory Report No. NREL/TP-540-34872, September, 2003.